

L^*/Y_{entrada} (absoluta)	18.0/2.5	37.3/9.7	56.7/24.6	76.1/49.9	95.4/88.6	N_0 (min.)	W_I (max.)
$w^*-l^*_{\text{CIELAB}, r}$ (relativa)							
w^* entrada	0,000	0,250	0,500	0,750	1,000	N_0 (min.)	W_I (max.)

TS780-3, Fig. C1Wd: Elemento A: rejillas radial N-W; W-N; N-Z y W-Z; PS operator: *rgb/cmy0*

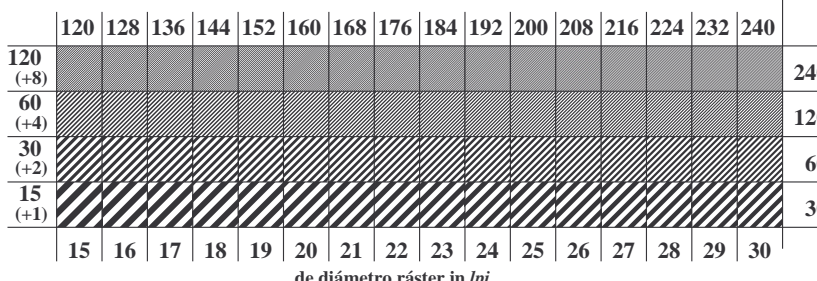
L^*/Y_{entrada} (absoluta)	18.0/2.5	23.2/3.8	28.3/5.6	33.5/7.8	38.6/10.5	43.8/13.7	49.0/17.6	54.1/22.1	59.3/27.3	64.4/33.3	69.6/40.2	74.8/47.9	79.9/56.5	85.1/66.2	90.2/76.8	95.4/88.6
NO y código Hex	00;F	01;E	02;D	03;C	04;B	05;A	06;9	07;8	08;7	09;6	10;5	11;4	12;3	13;2	14;1	15;0
$w^*-l^*_{\text{CIELAB}, r}$ (relativa)																
w^* entrada	0,000	0,067	0,133	0,200	0,267	0,333	0,400	0,467	0,533	0,600	0,667	0,733	0,800	0,867	0,933	1,000

TS780-7, Fig. C3Wd: Elemento C: 16 equidistantes L^* pasos de gris; PS operator: *rgb/cmy0*

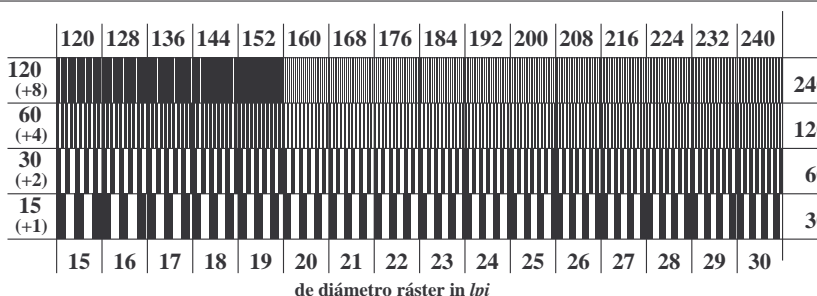
0	0	0	0	0	0	0	0	1	1	1	1	1	1	1	1	1
7																
E																
2																
8																
F																

1 paso del anillo 0-1
Código Hexadecimal
8 7-8
F E-F
0 2-0
6 8-6
D F-D
anillos de Landolt W-N
código: fondo-paso del anillo

TS781-1, Fig. C4Wd: Elemento D: anillos de Landolt W-N; PS operator: *rgb/cmy0*



TS781-3, Fig. C5Wd: Elemento E: Trama línea menores de 45° (o 135°) grados; PS operator: *rgb/cmy0*



TS781-5, Fig. C6Wd: Elemento F: Trama línea menores de 90° (o 0°) grados; PS operator: *rgb/cmy0*

